

Starkniederschlagshöhen und -spenden gemäß KOSTRA-DWD-2010R

Auswertungszeitraum von 1951 - 2010, Januar - Dezember

Rasterfeld: 55017

Zeile: 55

Spalte: 17

Seite: 1/2

| Dauerstufe D | Wiederkehrzeit T | | | | | | | | | | | | | | | | | | |
|--------------|------------------|------|------------|------|------------|------|------------|------|------------|-------|------------|-------|------------|-------|------------|-------|------------|-------|------------|
| | 1 a | | 2 a | | 3 a | | 5 a | | 10 a | | 20 a | | 30 a | | 50 a | | 100 a | | |
| min | Std | mm | l / (s ha) | mm | l / (s ha) | mm | l / (s ha) | mm | l / (s ha) | mm | l / (s ha) | mm | l / (s ha) | mm | l / (s ha) | mm | l / (s ha) | mm | l / (s ha) |
| 5 | | 5,0 | 166,7 | 6,7 | 223,3 | 7,8 | 260,0 | 9,1 | 303,3 | 10,9 | 363,3 | 12,6 | 420,0 | 13,7 | 456,7 | 15,0 | 500,0 | 16,8 | 560,0 |
| 10 | | 8,0 | 133,3 | 10,4 | 173,3 | 11,8 | 196,7 | 13,6 | 226,7 | 16,0 | 266,7 | 18,4 | 306,7 | 19,9 | 331,7 | 21,6 | 360,0 | 24,1 | 401,7 |
| 15 | | 10,0 | 111,1 | 12,9 | 143,3 | 14,6 | 162,2 | 16,7 | 185,6 | 19,6 | 217,8 | 22,6 | 251,1 | 24,3 | 270,0 | 26,4 | 293,3 | 29,3 | 325,6 |
| 20 | | 11,4 | 95,0 | 14,8 | 123,3 | 16,7 | 139,2 | 19,1 | 159,2 | 22,4 | 186,7 | 25,7 | 214,2 | 27,7 | 230,8 | 30,1 | 250,8 | 33,4 | 278,3 |
| 30 | | 13,4 | 74,4 | 17,3 | 96,1 | 19,7 | 109,4 | 22,6 | 125,6 | 26,6 | 147,8 | 30,5 | 169,4 | 32,8 | 182,2 | 35,8 | 198,9 | 39,7 | 220,6 |
| 45 | | 15,1 | 55,9 | 19,8 | 73,3 | 22,6 | 83,7 | 26,1 | 96,7 | 30,9 | 114,4 | 35,7 | 132,2 | 38,4 | 142,2 | 41,9 | 155,2 | 46,7 | 173,0 |
| 60 | | 16,1 | 44,7 | 21,5 | 59,7 | 24,7 | 68,6 | 28,7 | 79,7 | 34,1 | 94,7 | 39,5 | 109,7 | 42,7 | 118,6 | 46,7 | 129,7 | 52,1 | 144,7 |
| 90 | | 18,4 | 34,1 | 24,1 | 44,6 | 27,4 | 50,7 | 31,6 | 58,5 | 37,4 | 69,3 | 43,1 | 79,8 | 46,4 | 85,9 | 50,6 | 93,7 | 56,3 | 104,3 |
| 120 | 2 | 20,3 | 28,2 | 26,2 | 36,4 | 29,6 | 41,1 | 34,0 | 47,2 | 39,9 | 55,4 | 45,8 | 63,6 | 49,3 | 68,5 | 53,6 | 74,4 | 59,5 | 82,6 |
| 180 | 3 | 23,2 | 21,5 | 29,4 | 27,2 | 33,0 | 30,6 | 37,6 | 34,8 | 43,8 | 40,6 | 50,0 | 46,3 | 53,7 | 49,7 | 58,3 | 54,0 | 64,5 | 59,7 |
| 240 | 4 | 25,5 | 17,7 | 31,9 | 22,2 | 35,7 | 24,8 | 40,4 | 28,1 | 46,9 | 32,6 | 53,3 | 37,0 | 57,1 | 39,7 | 61,9 | 43,0 | 68,3 | 47,4 |
| 360 | 6 | 29,1 | 13,5 | 35,9 | 16,6 | 39,9 | 18,5 | 44,9 | 20,8 | 51,7 | 23,9 | 58,4 | 27,0 | 62,4 | 28,9 | 67,4 | 31,2 | 74,2 | 34,4 |
| 540 | 9 | 33,3 | 10,3 | 40,5 | 12,5 | 44,6 | 13,8 | 49,9 | 15,4 | 57,0 | 17,6 | 64,2 | 19,8 | 68,3 | 21,1 | 73,6 | 22,7 | 80,7 | 24,9 |
| 720 | 12 | 36,6 | 8,5 | 44,0 | 10,2 | 48,4 | 11,2 | 53,8 | 12,5 | 61,2 | 14,2 | 68,6 | 15,9 | 72,9 | 16,9 | 78,4 | 18,1 | 85,8 | 19,9 |
| 1080 | 18 | 41,9 | 6,5 | 49,7 | 7,7 | 54,2 | 8,4 | 60,0 | 9,3 | 67,8 | 10,5 | 75,5 | 11,7 | 80,1 | 12,4 | 85,8 | 13,2 | 93,6 | 14,4 |
| 1440 | 24 | 46,1 | 5,3 | 54,2 | 6,3 | 58,9 | 6,8 | 64,8 | 7,5 | 72,9 | 8,4 | 81,0 | 9,4 | 85,7 | 9,9 | 91,6 | 10,6 | 99,7 | 11,5 |
| 2880 | 48 | 60,2 | 3,5 | 69,9 | 4,0 | 75,6 | 4,4 | 82,8 | 4,8 | 92,5 | 5,4 | 102,3 | 5,9 | 108,0 | 6,3 | 115,1 | 6,7 | 124,9 | 7,2 |
| 4320 | 72 | 70,4 | 2,7 | 81,1 | 3,1 | 87,4 | 3,4 | 95,2 | 3,7 | 106,0 | 4,1 | 116,7 | 4,5 | 122,9 | 4,7 | 130,8 | 5,0 | 141,5 | 5,5 |

Angaben in mm: Bemessungsniederschlagswerte h(n)

Angaben in l / (s ha): Regenspende R(n) mit $R(n) = h(n) \times 1,666667 / D[\text{min}]$

Toleranzbereiche:

+/- 10 % für $1 \text{ a} \leq T \leq 5 \text{ a}$

+/- 15 % für $5 \text{ a} < T \leq 50 \text{ a}$

+/- 20 % für $50 \text{ a} < T \leq 100 \text{ a}$

Datenbasis: KOSTRA-DWD-2010R des Deutschen Wetterdienstes. Die Regenspende wurde auf Basis des Bemessungsniederschlags zur jeweiligen Andauer berechnet.

Für die Richtigkeit und Aktualität der Angaben wird keine Gewähr übernommen. Erstellt 07/2022.

Starkniederschlagshöhen und -spenden gemäß KOSTRA-DWD-2010R

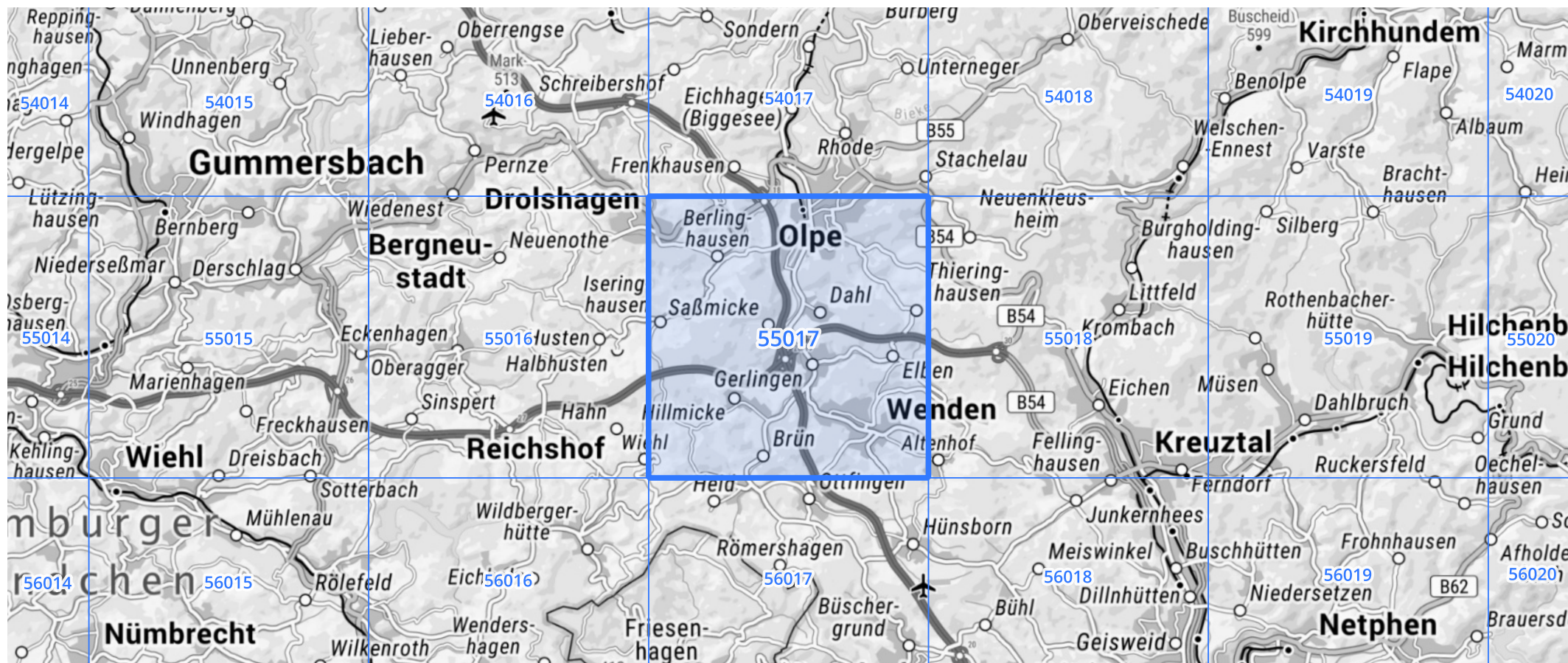
Auswertungszeitraum von 1951 - 2010, Januar - Dezember

Rasterfeld: 55017

Zeile: 55

Spalte: 17

Seite: 2/2



Quelle Rasterdaten: KOSTRA-DWD-2010R des Deutschen Wetterdienstes.

Kartendarstellung: © Bundesamt für Kartographie und Geodäsie (2022), Datenquellen: https://sgx.geodatenzentrum.de/web_public/gdz/datenquellen/Datenquellen_TopPlusOpen.html

Für die Richtigkeit und Aktualität der Angaben wird keine Gewähr übernommen. Erstellt 07/2022.